

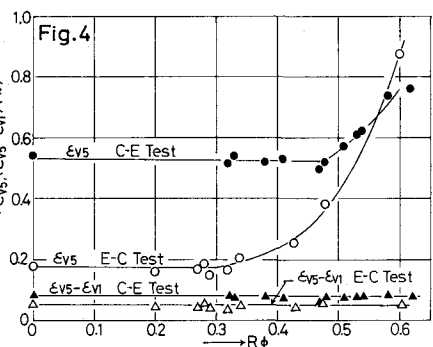
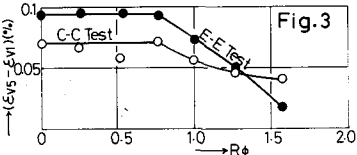
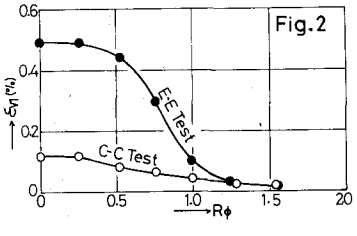
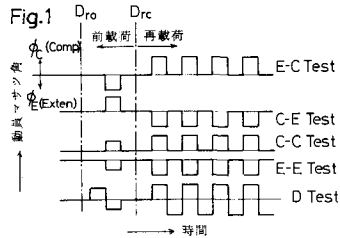
北海道大学工学部 正員 鈴木輝之
正員 工嶋祥介

〔まえがき〕 不規則な繰返し荷重の下での砂がどのような変形特性を示すかを明らかにして、またそれを規則的荷重の実験結果から推定する方法を研究することは重要な課題と言える。著者の一人は不規則な繰返し荷重の下での乾燥砂の体積変化を求める一方法を提案している。¹⁾この方法では以前に受けた荷重(履歴)の影響が十分に考慮されない点が問題として残されている。本研究はこの点を明らかにするために、所定の繰返し荷重の下での残留体積変化(以後単に体積変化と呼ぶ)について、以前に受けた繰返し荷重の影響がどのように現われるかを調べたものである。

〔実験方法〕 用いた試料は気乾状態の豊浦砂($E_{max} = 0.985$, $E_{min} = 0.617$)²⁾であり、実験装置は従前から用いられている空気圧切換方式の繰返し三軸装置³⁾である。荷重の載荷方法はFig. 1に模式的に示すように前載荷と再載荷とからなる。載荷はすべて半径方向応力($R_\phi = 2.0 \text{ kg/cm}^2$)を一定とし、軸方向応力のみを変化させるタイプのものである。また再載荷での動員マツッ角中 R_ϕ は 20° とし、前載荷(すべて1サイクル)⁴⁾での動員マツッ角中 ϕ_{pre} は $R_\phi = \tan \phi_{pre} / \tan \phi_{pre}$ の値が $0 \sim 1.8$ の間で種々に変化するようにならざるを得ない。供試体密度は、前載荷が終了した時実 ϕ の相対密度 D_{rc} が 55% となるように初期相対密度 D_{ro} を決めた。これは前載荷の影響のうち密度の増加による成分を除くためである。なお供試体の作成は多量フルイ落下法⁵⁾により行なった。

〔同一方向載荷履歴の影響〕 Fig. 2はC-C TestとE-E Testにおける再載荷1回目の体積比 E_{v1} と R_ϕ の関係を示してある。Fig. 3はFig. 2と同じ実験で2~5回目の載荷で生じた体積比 $E_{v2} - E_{v1}$ と R_ϕ の関係を示している。これらの図から、 E_{v1} は $R_\phi = 0.25$ ($\phi_{pre} = 5^\circ$)あたりから前載荷の影響が顕著になり、 R_ϕ の増加とともに E_{v1} は小さくなつていくのに對して、 $E_{v2} - E_{v1}$ は $R_\phi = 0.8$ 付近まで前載荷の影響はほとんど見られないことが分る。このように同一方向載荷履歴の影響の現われ方は再載荷1回目の体積比 E_{v1} における場合と2回目以後のそれとでは異なることが分る。

〔反対側方向載荷履歴の影響〕 Fig. 4はE-C TestとC-E Testの再載荷5回目までの体積比 E_{v5} 、および2~5回目での体積比 $E_{v5} - E_{v1}$ と $\tan \phi_{pre}$ の関係を示したものである。この図から反対側載荷履歴の影響は $\tan \phi_{pre}$ が 0.5 以上になると現われ始め、この場合再載荷における体積比 E_{v5} は、必ず供試体の場合より大きくなる。この影響が現われ始める限界は、応力(R_ϕ)を表わすと圧縮と伸張とで異なつてある。これは供試体の初期構造によるものと考えられる。またFig. 4から本実験の R_ϕ の範囲では、 R_ϕ の大きさにいかわりなく、再載荷2回目以後の体積比 E_{v5} には反対側前載荷の



影響はほとんど現われていないことが分る。すなわち、反対側前載荷が再載荷時の体積ヒズミに影響を与えるのは再載荷1回目の場合に限られることになる。

Fig. 5 は前載荷で生じた最大せん断ヒズミの絶対値 $|\delta_{pre}|_{max}$ と ϵ_{EI} の関係を示したものである。この図によれば前載荷の影響が現われ始める $|\delta_{pre}|_{max}$ は $R_{pre}=20^\circ$ の場合、圧縮・伸張ともに 0.8% 程度とほぼ一致しており、前載荷の影響が現われ始める限界は応力よりもヒズミの方が統一的に表わし得ることを示唆している。

Fig. 6 は Fig. 2 と Fig. 4 から ϵ_{EI} を除せ供試体のそれで除して無次元化した値 R_{EV1} と R_ϕ の関係を示したものである。この図に示されるような同一方向応力履歴と反対側方向応力履歴の影響の現われ方の違いは前載荷による粒子構造の変化を考えることによって説明できよう。また圧縮側と伸張側の違いの原因は供試体の初期堆積構造の異方性に帰することが出来るようである。

[D Test (両振り試験) の結果] Fig. 7 のプロットは D Test における R_{EV1} と R_ϕ の関係の実測値を示している。また Fig. 8 は D Test の ϵ_{EI} を圧縮側で生じた $\Delta \epsilon_{EV1}$ と伸張側で生じた $\Delta \epsilon_{EV1}$ とに分解したものをある。前載荷は伸張側で終らせ、再載荷を圧縮側から始めていることを参考とし、Fig. 6 と Fig. 8 から、

Fig. 7 の結果は、同一方向および反対側方向の載荷履歴の影響が圧縮側と伸張側で各自独立的に現れ、それらが加え合わさったものとして理解できよう。そこで Fig. 6 から任意の R_ϕ における 4 種類の試験 (C-C, E-E, E-C, C-E Test) の R_{EV1} (各々 R_{EV1}^{C-C} , R_{EV1}^{E-E} , R_{EV1}^{E-C} , R_{EV1}^{C-E} で表わす) を拾い、D Test の再載荷 1 回目の R_{EV1} を次式で計算した。

$$\epsilon_{EV1}^D = \bar{\epsilon}_{EV1}^{C-C} \times (R_{EV1}^{C-C} + R_{EV1}^{E-C} - 1) + \bar{\epsilon}_{EV1}^{E-E} \times (R_{EV1}^{E-E} + R_{EV1}^{C-E} - 1)$$

$$R_{EV1} = \epsilon_{EV1}^D / \bar{\epsilon}_{EV1}^{C-C} + \bar{\epsilon}_{EV1}^{E-E}$$

ここで $\bar{\epsilon}_{EV1}^{C-C}$, $\bar{\epsilon}_{EV1}^{E-E}$: $R_\phi=0$ における C-C, E-E Test の第 1 回目載荷における体積ヒズミ。

この式によって計算された D Test における R_{EV1} と R_ϕ の関係を示したのが Fig. 7 の実線であり、実測値と比較的一致することができる。

このように載荷履歴の独立性は不規則荷重の下での变形を求めるときの重要な知見となり得よう。

[あとがき] 本報告の実験は元化大學生、勘野裕明、志賀直文、田村哲介、堤三樹磨、長谷部和彦の諸君によってなされた、記して謝意を表わす。

- [文献] 1). 工岐、鎌田、北郷: 第31回国土工学会年講Ⅲ部。2). 鈴木輝之: 技術報告資料17号。
3). 工岐、三浦、浅見: 第14回国土工学研究発表会。4). 鈴木輝之: 第14回国土工学研究発表会。

